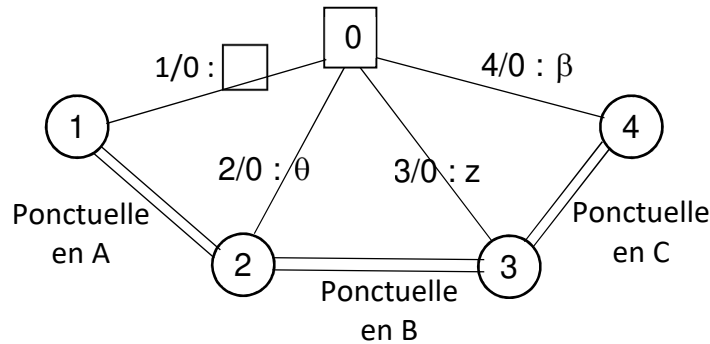


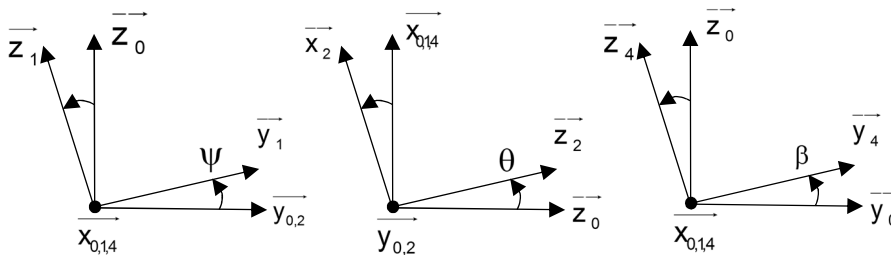
Mécanique Générale – EFS Piano (2h) - Corrigé

1^{ère} partie : Effet du mouvement de la pédale douce sur les marteaux

1) Graphe des liaisons :



Figures de changement de base.



Pour rappel :

$$\begin{cases} \bar{x}_3 = \bar{x}_0 \\ \bar{y}_3 = \bar{y}_0 \\ \bar{z}_3 = \bar{z}_0 \end{cases}$$

2) 3 conditions de liaison et développement de 2 d'entre elles :

- Liaison ponctuelle en A : $\boxed{\overline{O_2A} \cdot \bar{z}_2 = 0}$ avec $\overline{O_2A} = \overline{O_2O} + \overline{OO_1} + \overline{O_1A} = a\bar{y}_0 - l\bar{x}_0 - a\bar{y}_1$
donc $(a\bar{y}_{0,2} - l\bar{x}_{0,1} - a\bar{y}_1) \cdot \bar{z}_2 = -l\sin\theta - a\sin\psi\cos\theta = 0$ soit $\boxed{l\tan\theta = -a\sin\psi}$ (1) car $\theta \neq \pm \frac{\pi}{2}$.
- Liaison ponctuelle en B : $\boxed{\overline{O_2B} \cdot \bar{z}_2 = 0}$ avec $\overline{O_2B} = \overline{O_2O'} + \overline{O'C} + \overline{CB} = d\bar{x}_0 + z\bar{z}_{0,3} - b\bar{z}_3$
donc $[d\bar{x}_0 + z\bar{z}_{0,3} - b\bar{z}_3] \cdot \bar{z}_2 = d\sin\theta + (z-b)\cos\theta = 0$ soit $\boxed{\tan\theta = \frac{b-z}{d}}$ (2) car $\theta \neq \pm \frac{\pi}{2}$.
- Liaison ponctuelle en C : $\boxed{\overline{O_4C} \cdot \bar{z}_4 = 0}$
avec $\overline{O_4C} = \overline{O_4O'} + \overline{O'C} = -b\bar{z}_0 - c\bar{y}_0 + z\bar{z}_{0,3}$
Non demandé donc $[-c\bar{y}_0 + (z-b)\bar{z}_{0,3}] \cdot \bar{z}_4 = c\sin\beta + (z-b)\cos\beta = 0$ soit $\boxed{\tan\beta = \frac{b-z}{c}}$ (3) car $\beta \neq \pm \frac{\pi}{2}$.

\Rightarrow Degré de mobilité = nb paramètres - nb équations = 4 - 3 = $\boxed{1}$

3) Relation entre l'angle d'entrée ψ et l'angle de sortie β :

Les équations (2) et (3) donnent : $d\tan\theta = c\tan\beta$

En remplaçant $\tan\theta$ par $\frac{c}{d}\tan\beta$ dans l'équation (1) : $l\frac{c}{d}\tan\beta = -a\sin\psi$ d'où $\boxed{\tan\beta = -\frac{ad}{cl}\sin\psi}$ (4)

Rapport $\rho = \frac{\dot{\beta}}{\dot{\psi}}$, en fonction du paramètre d'entrée ψ :

Dérivation de l'équation de liaison (4) par rapport au temps : $\dot{\beta}(1 + \tan^2 \beta) = -\frac{ad}{cl} \dot{\psi} \cos \psi$

puis remplacement de $\tan \beta$ par $-\frac{ad}{cl} \sin \psi$ (équation (4) également) $\Rightarrow \rho = \frac{\dot{\beta}}{\dot{\psi}} = \frac{-\frac{ad}{cl} \cos \psi}{1 + \left(\frac{ad}{cl} \sin \psi\right)^2}$

Application numérique pour $\psi = 0$: $\rho = -\frac{ad}{cl} = -\frac{6 \cdot 45}{3,6 \cdot 25} = \boxed{-3}$

4) Pivotelement et roulement en A :

$\vec{P}_{1/2}(A) = (\vec{\Omega}_{1/2} \cdot \vec{n}) \vec{n} = \left[(\dot{\psi} \vec{x}_{0,1} - \dot{\theta} \vec{y}_{0,2}) \cdot \vec{z}_2 \right] \vec{z}_2 = \boxed{\dot{\psi} \sin \theta \vec{z}_2}$ et donc

$\vec{R}_{1/2}(A) = \vec{\Omega}_{1/2} - \vec{P}_{1/2}(A) = \dot{\psi} \vec{x}_{0,1} - \dot{\theta} \vec{y}_{0,2} - \dot{\psi} \sin \theta \vec{z}_2 = \dot{\psi} (\cos \theta \vec{x}_2 + \sin \theta \vec{z}_2) - \dot{\theta} \vec{y}_{0,2} - \dot{\psi} \sin \theta \vec{z}_2 = \boxed{\dot{\psi} \cos \theta \vec{x}_2 - \dot{\theta} \vec{y}_{0,2}}$

Vitesse de glissement en A (1 seule méthode demandée) :

a. Champ des vitesses :

$\vec{V}(A, 1/2) = \vec{V}(O, 1/2) + \vec{\Omega}_{1/2} \wedge \vec{OA} = (\dot{\psi} \vec{x}_{0,1} - \dot{\theta} \vec{y}_{0,2}) \wedge (-l \vec{x}_0 - a \vec{y}_1) = \boxed{-a \dot{\psi} \vec{z}_1 - l \dot{\theta} \vec{z}_0 + a \dot{\theta} \sin \psi \vec{x}_{0,1}}$

b. Dérivation :

$\vec{V}(A, 1/2) = \vec{V}(A/2) = \left(\frac{d}{dt} \vec{O}_2 A \right)_2$ avec $\vec{O}_2 A = a \vec{y}_{0,2} - l \vec{x}_0 - a \vec{y}_1$ et avec la base mobile :

$\vec{V}(A/2) = -l \dot{\Omega}_{0/2} \wedge \vec{x}_0 - a \dot{\Omega}_{1/2} \wedge \vec{y}_1 = l \dot{\theta} \vec{y}_{0/2} \wedge \vec{x}_0 - a (\dot{\psi} \vec{x}_{0,1} - \dot{\theta} \vec{y}_{0,2}) \wedge \vec{y}_1 = \boxed{-l \dot{\theta} \vec{z}_0 - a \dot{\psi} \vec{z}_1 + a \dot{\theta} \sin \psi \vec{x}_{0,1}}$

Remarque : idem que différence des vitesses des points géométriques :

$\vec{V}(A, 1/2) = \vec{V}(A/2) - \vec{V}(A/1) = \left(\frac{d}{dt} \vec{O}_2 A \right)_2 - \left(\frac{d}{dt} \vec{O}_1 A \right)_1$

c. Composition :

$\vec{V}(A, 1/2) = \vec{V}(A, 1/0) - \vec{V}(A, 2/0) = \left[\vec{V}(O, 1/0) + \vec{\Omega}_{1/0} \wedge \vec{O}_1 A \right] - \left[\vec{V}(O, 2/0) + \vec{\Omega}_{2/0} \wedge \vec{OA} \right]$
 $= \vec{\Omega}_{1/0} \wedge \vec{O}_1 A - \vec{\Omega}_{2/0} \wedge \vec{OA} = \dot{\psi} \vec{x}_{0,1} \wedge (-a \vec{y}_1) + (-\dot{\theta} \vec{y}_{0,2}) \wedge (-l \vec{x}_0 - a \vec{y}_1) = \boxed{-a \dot{\psi} \vec{z}_1 - l \dot{\theta} \vec{z}_0 + a \dot{\theta} \sin \psi \vec{x}_{0,1}}$

Dans quel plan se situe-t-elle ? le vérifier.

La vitesse de glissement en A se situe dans le plan $(O_2, \vec{x}_2, \vec{y}_2)$ car :

$\vec{V}(A, 1/2) \cdot \vec{z}_2 = -a \dot{\psi} \cos \psi \cos \theta - l \dot{\theta} \cos \theta + a \dot{\theta} \sin \psi \sin \theta$

Or l'équation de liaison est : $l \tan \theta = -a \sin \psi \Leftrightarrow l \sin \theta = -a \sin \psi \cos \theta$

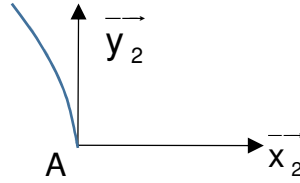
qui donne, lorsqu'on la dérive par rapport au temps : $l \dot{\theta} \cos \theta = -a \dot{\psi} \cos \psi \cos \theta + a \dot{\theta} \sin \psi \sin \theta$

Donc on vérifie bien que $\boxed{\vec{V}(A, 1/2) \cdot \vec{z}_2 = 0}$

Définir précisément

- **mouvement de S_1 par rapport à R_0 :** rotation d'axe $(O_1, \vec{x}_{0,1}) = (O, \vec{x}_{0,1})$;
- **trajectoire de A dans R_0 :** arc du cercle de centre O_1 , de rayon $O_1 A$, dans le plan $(O_1, \vec{y}_0, \vec{z}_0)$

- **trajectoire de A dans R₂ ?** trajectoire plane (plan (O₂, \vec{x}_2, \vec{y}_2)) mais non rectiligne (curviligne).



5) Pivotelement et roulement en B :

$\overline{P}_{3/2}(B) = \vec{0}$: en effet, le mouvement 3/2 se situe dans le plan (O₂, \vec{x}_2, \vec{z}_2), donc les seules rotations non nulles sont celles autour de \vec{y}_2 ; or la normale au contact en B est \vec{z}_2 , le pivotelement (rotation / \vec{z}_2) est donc nul.

$$\overline{R}_{3/2}(B) = \overline{\Omega}_{3/2} - \overline{P}_{3/2}(B) = \overline{\Omega}_{3/2} = \overline{\Omega}_{3/0} - \overline{\Omega}_{0/2} = \boxed{-\dot{\theta} \vec{y}_{0,2}}$$

Définir précisément :

- **mouvement de S₃ par rapport à R₀ :** translation rectiligne de direction $\vec{z}_{0,3}$;
- **trajectoire de B dans R₀ :** segment de la droite (O', $\vec{z}_{0,3}$) ;
- **trajectoire de B dans R₂ :** segment de la droite (O₂, \vec{x}_2).

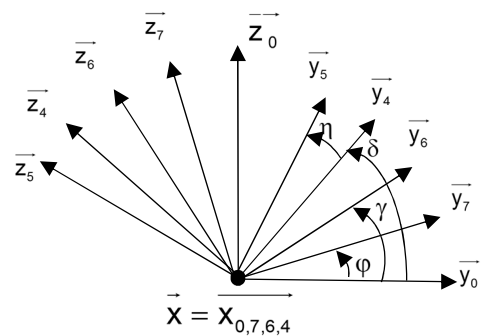
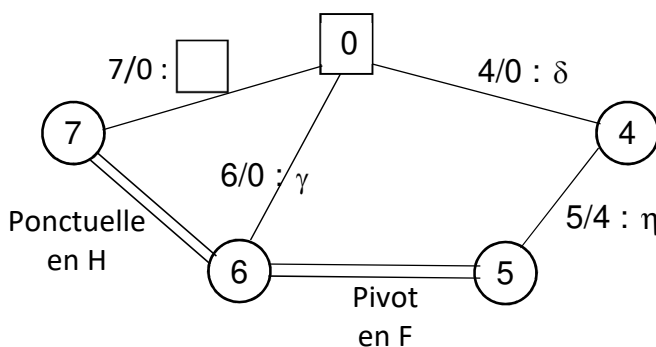
Abcisse x de B à partir de O₂ et vitesse de glissement en B :

$$x = \overline{O}_2 \vec{B} \cdot \vec{x}_2 = (d\vec{x}_0 + z\vec{z}_{0,3} - b\vec{z}_3) \cdot \vec{x}_2 = d\cos\theta - (z-b)\sin\theta$$

$$\Rightarrow \vec{V}(B, 3/2) = \vec{V}(B/2) = \left(\frac{d}{dt} \overline{O}_2 \vec{B} \right)_2 = \left(\frac{d}{dt} (xx_2) \right)_2 = \dot{x} \vec{x}_2 = \boxed{\left[-d\dot{\theta}\sin\theta - \dot{z}\sin\theta - (z-b)\dot{\theta}\cos\theta \right] \vec{x}_2}$$

2^{nde} partie : Effet du mouvement d'une touche du clavier sur le marteau associé

1) Graphe des liaisons et figures de changement de base :



2) Conditions de liaison et développement de celle traduisant la pivot :

• Liaison pivot en F : $\overline{F}_{(6)} \overline{F}_{(5)} = \vec{0}$

Avec $\overline{F}_{(6)} \overline{F}_{(5)} = \overline{F}_{(6)} \overline{O}_6 + \overline{O}_6 \overline{O}_4 + \overline{O}_4 \overline{E} + \overline{E} \overline{F}_{(5)} = y_F \vec{y}_6 - z_F \vec{z}_6 + z_4 \vec{z}_0 - y_E \vec{y}_4 - L \vec{z}_5$

Soit dans R₀ (base la plus pratique) :

$$\begin{cases} y_F \cos \gamma + z_F \sin \gamma - y_E \cos \delta + L \sin(\delta + \eta) = 0 \\ y_F \sin \gamma - z_F \cos \gamma + z_4 - y_E \sin \delta - L \cos(\delta + \eta) = 0 \end{cases} \quad (5)$$

- Liaison ponctuelle en H : $\overline{O_6 H \cdot z_6} = 0$

Non demandé

Avec $\overline{O_6 H} = \overline{O_6 O_7} + \overline{O_7 H} = -y_6 \overline{y_0} - z_6 \overline{z_0} + y_H \overline{y_7} + z_H \overline{z_7}$

Donc $(-y_6 \overline{y_0} - z_6 \overline{z_0} + y_H \overline{y_7} + z_H \overline{z_7}) \cdot \overline{z_6} = \overline{y_6 \sin \gamma - z_6 \cos \gamma - y_H \sin(\gamma - \varphi) + z_H \cos(\gamma - \varphi)} = 0$ (6)

\Rightarrow Degré de mobilité = nb paramètres – nb équations = 4 – 3 = 1

3) Vitesse de F par rapport à R₀ :

a. Champ de vitesses : $\vec{V}(F/O) = \vec{V}(E/O) + \overline{\Omega}_{5/0} \wedge \overline{EF}$

avec $\vec{V}(E/O) = \vec{V}(O_4/O) + \overline{\Omega}_{4/0} \wedge \overline{O_4 E} = \delta \vec{x} \wedge (-y_E \overline{y_4}) = -y_E \delta \vec{z}_4$

et donc $\vec{V}(F/O) = -y_E \delta \vec{z}_4 + (\dot{\eta} + \delta) \vec{x} \wedge (-L \vec{z}_5) = \overline{-y_E \delta \vec{z}_4 + L(\dot{\eta} + \delta) \vec{y}_5}$

b. Dérivation : $\vec{V}(F/O) = \left(\frac{d}{dt} \overline{O_4 F} \right)$ avec $\overline{O_2 A} = -y_E \overline{y_4} - L \vec{z}_5$ et avec la base mobile :

$\vec{V}(F/O) = -y_E \overline{\Omega}_{4/0} \wedge \overline{y_4} - L \overline{\Omega}_{5/0} \wedge \vec{z}_5 = \overline{-y_E \delta \vec{z}_4 + L(\dot{\eta} + \delta) \vec{y}_5}$

c. Composition :

$\vec{V}(F/O) = \vec{V}(F/4) + \vec{V}(F,4/O) = \left[\vec{V}(E/4) + \overline{\Omega}_{5/4} \wedge \overline{EF} \right] + \left[\vec{V}(O_4,4/O) + \overline{\Omega}_{4/0} \wedge \overline{O_4 F} \right]$
 $= \dot{\eta} \vec{x} \wedge -L \vec{z}_5 + \delta \vec{x} \wedge (-y_E \overline{y_4} - L \vec{z}_5) = \overline{L \dot{\eta} \vec{y}_5 - y_E \delta \vec{z}_4 + L \dot{\delta} \vec{y}_5}$

Accélération de F par rapport à R₀ :

Par dérivation : $\vec{\Gamma}(F/O) = \left[\frac{d}{dt} \vec{V}(F/O) \right]_0 = -y_E \delta \vec{z}_4 - y_E \dot{\delta} \left(\frac{dz_4}{dt} \right)_0 + L(\dot{\eta} + \delta) \vec{y}_5 + L(\dot{\eta} + \delta) \left(\frac{dy_5}{dt} \right)_0$

Avec $\left(\frac{dz_4}{dt} \right)_0 = \left(\frac{dz_4}{dt} \right)_4 + \overline{\Omega}_{4/0} \wedge \vec{z}_4 = \delta \vec{x} \wedge \vec{z}_4 = -\dot{\delta} \vec{y}_4$

Et $\left(\frac{dy_5}{dt} \right)_0 = \left(\frac{dy_5}{dt} \right)_5 + \overline{\Omega}_{5/0} \wedge \vec{y}_5 = (\dot{\eta} + \delta) \vec{x} \wedge \vec{y}_5 = (\dot{\eta} + \delta) \vec{z}_5$

D'où $\vec{\Gamma}(F/O) = -y_E \delta \vec{z}_4 + y_E \dot{\delta} \vec{y}_4 + L(\dot{\eta} + \delta) \vec{y}_5 + L(\dot{\eta} + \delta)^2 \vec{z}_5$

Remarque : ou en démarrant par le champ des accélérations ou par la composition.

d. Cinématique graphique :

a. Figure 3 :

- vitesse de H/0 : distribution des vitesses de 7/0 autour du CIR I₇₀ = O₇ (ou équiprojectivité) ;
- vitesse de glissement en H soit $\vec{V}(H,7/6) = \vec{V}(H/6)$

$$\underbrace{\vec{V}(H,7/6)}_{\substack{\text{Direction connue} \\ // (O_6 H)}} = \underbrace{\vec{V}(H,7/0)}_{\substack{= \vec{V}(H/0) \\ \text{Connue}}} - \underbrace{\vec{V}(H,6/0)}_{\substack{\text{Direction connue} \\ \perp (I_{60} H) \text{ soit } \perp (O_6 H)}} \quad \text{ou} \quad \underbrace{\vec{V}(H/6)}_{\substack{\text{Direction connue} \\ // (O_6 H)}} = \underbrace{\vec{V}(H/0)}_{\text{Connue}} - \underbrace{\vec{V}(H,6/0)}_{\substack{\text{Direction connue} \\ \perp (I_{60} H) \text{ soit } \perp (O_6 H)}}$$

b. Figure 4 :

- vitesse de F/0 : distribution des vitesses de 6/0 autour du CIR I₆₀ = O₆ (ou équiprojectivité) ;
- mouvement linéairement tangent à 5/0 ? rotation de centre I₅₀ dans le plan de l'étude ;
construction du CIR I₅₀ : par intersection

de (O₆F) = (I₆₀F) (\perp à $\vec{V}(F/O) = \vec{V}(F,5/O)$) et de (O₄E) = (I₄₀E) (\perp à $\vec{V}(E/O) = \vec{V}(E,5/O)$)

- **vitesse de E/0** : $\vec{V}(E/0) = \vec{V}(E,5/0)$ par distribution des vitesses de 5/0 autour de I_{50} (ou équiprojectivité) ; *remarque : par hasard, $I_{50}F = I_{50}E...$*

c. **Figure 3 :**

- **report de la vitesse de E/0** : $2,6 \text{ cm} * 2/3 \approx 1,75 \text{ cm}$ sur le dessin à la main
- **vitesse de M/0** : distribution des vitesses de 4/0 autour du CIR $I_{40} = O_4$ (ou équiproj.)

d. **Rapport entre les normes des vitesses /0 de sortie (point M) et d'entrée (point D) :**

$$\frac{\|\vec{V}(M/0)\|}{\|\vec{V}(D/0)\|} \approx \frac{8}{3,2} \approx 2,5 \text{ sur le dessin à la main ; } \frac{\|\vec{V}(M/0)\|}{\|\vec{V}(D/0)\|} \approx 2,4 \text{ sur la figure ci-dessous}$$

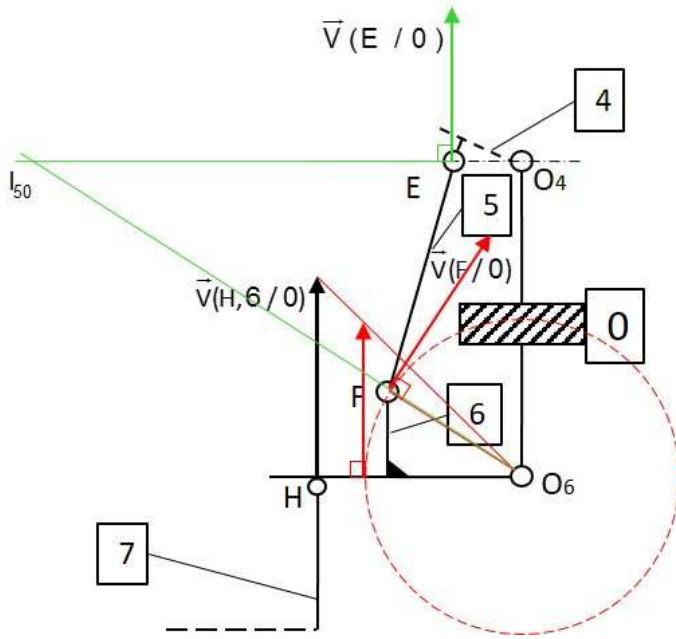


Figure 4

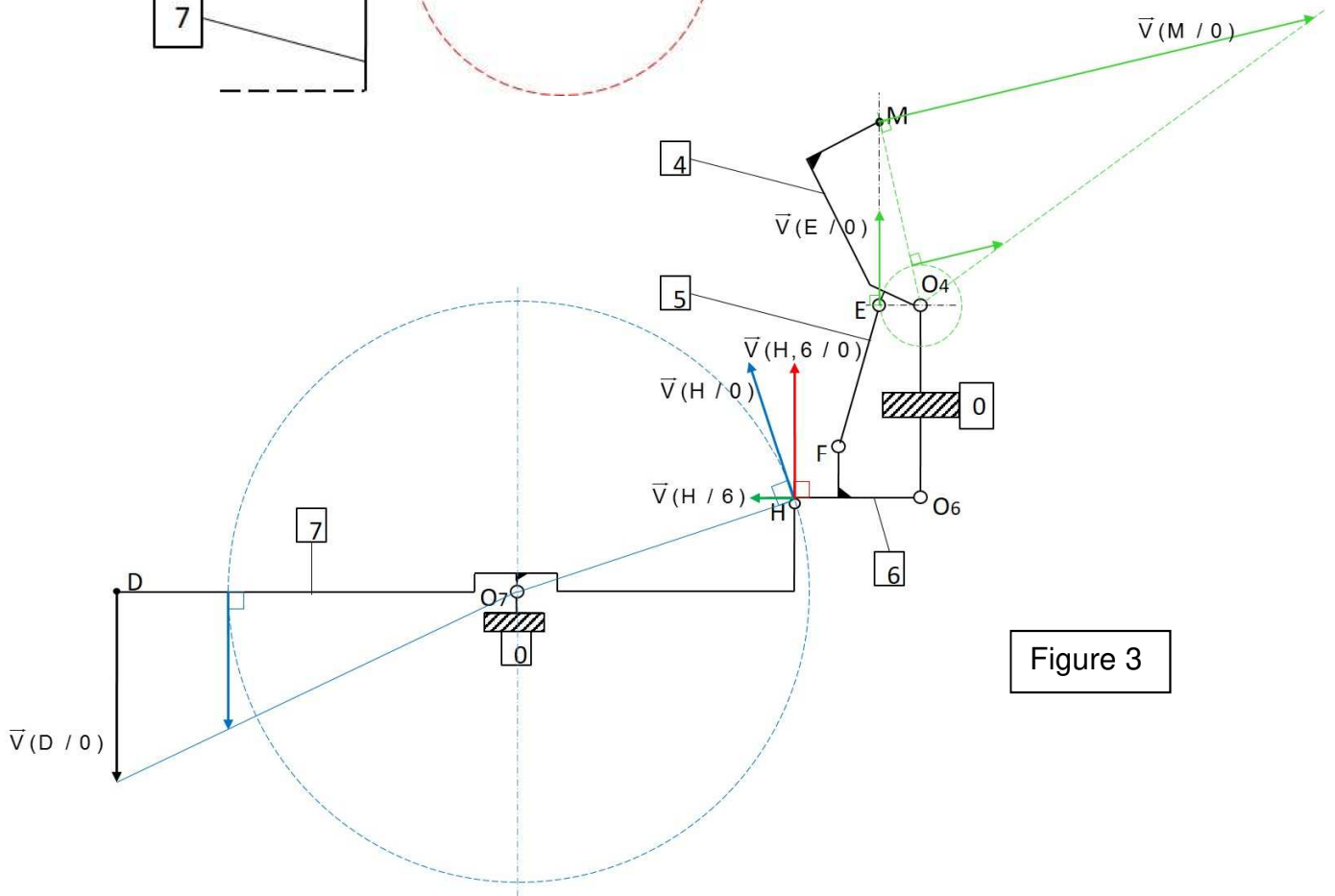


Figure 3